

А.В. Еньшин, С.Д. Творогов

**ЖЕСТКИЙ РОТАТОР В БИГАРМОНИЧЕСКОМ РЕЗОНАНСНОМ ПОЛЕ**

В работе приводятся результаты эксперимента по облучению молекул воздуха излучением второй гармоники неодимового лазера одновременно на двух длинах волн двух продольных мод. В результате такого эксперимента в спектре излучения освещаемого объема обнаружено около 750 линий в диапазоне длин волн 198–394  $\mu\text{m}$ , которые соответствуют переходам между возбужденными электронными состояниями молекул  $\text{N}_2$ , ионов  $\text{N}_2^+$ ,  $\text{O}_2^+$ , а также атомарных ионов  $\text{N}^+$  и  $\text{O}^+$ . В работе показано, что неизменными условиями возникновения данного эффекта являются: бигармоничность возбуждающего поля, наличие молекулярной среды с вращательными энергетическими уровнями и резонансная близость разности энергии волн бигармонической накачки и энергии вращательных состояний молекул среды.

Интерпретация результатов эксперимента основана на качественном анализе дифференциальных уравнений движения. В конечном итоге, проведенный анализ позволяет говорить о существовании стационарной точки типа «центр» и предельного цикла с «навинчивающимися» на него траекториями (независимо от их начальных условий), т.е. рассматривать жесткий ротатор в резонансном (для разностной частоты) бигармоническом поле как синергетическую систему.

**§1. Эксперимент [1, 2, 3]; идея его интерпретации**

Сфокусированное в воздухе бигармоническое с длинами волн  $\lambda_1 = 0,5275 \mu\text{m}$ , и  $\lambda_2 = 0,5277 \mu\text{m}$  поле (вторая гармоника импульсного (длительность  $\approx 25$  нс) Nd-лазера с селекцией двух продольных мод) порождает очень разнообразный набор частот (рис. 1): в регистрируемой области 0,198–0,394  $\mu\text{m}$  оказалось 750 линий.

Неизменное условие эффекта — бигармоничность поля и молекулярная среда с вращательными состояниями (эффект исчезает при устранении одной из частот или замене молекулярного газа атомарным). Разность частот поля оказывается между вращательными числами  $j = 1$  и 2 молекул  $\text{O}_2$  и  $\text{N}_2$ , что имеет решающее значение для следующей интерпретации.

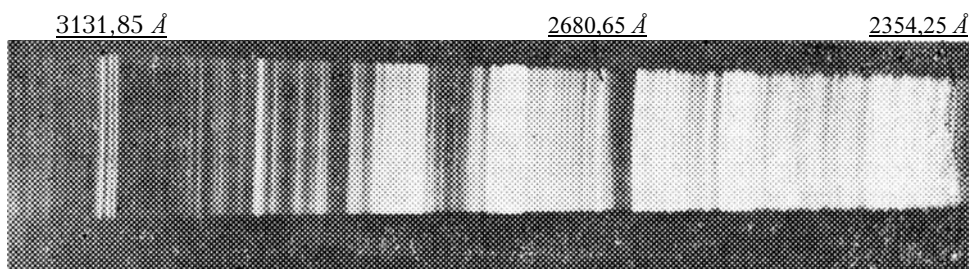


Рис. 1. Спектр возбужденных электронных состояний  $\text{N}_2$ , ионов  $\text{N}_2^+$ ,  $\text{O}_2^+$  и ионизированных атомов  $\text{N}^+$ ,  $\text{O}^+$ . Диапазон регистрации 0,198  $\mu\text{m}$ –0,394  $\mu\text{m}$ . (Иллюстрируется наиболее яркая часть диапазона)

Рис. 1 свидетельствует об исключительно «широкополосном» возбуждении: здесь представлены линии возбужденных электронных состояний  $\text{N}_2$ , ионов  $\text{N}_2^+$ ,  $\text{O}_2^+$  и ионизированных атомов  $\text{N}^+$ ,  $\text{O}^+$  (специальными экспериментами заряженные частицы зафиксированы непосредственно) — речь идет о всех частотах этих образований в интервале 0,198–0,394  $\mu\text{m}$ .

Однако «события» эти происходят при весьма низком пороге — напряженность поля в фокусе  $\approx 10^4$ – $10^5$  В/см. Например, для ионизации  $\text{N}_2$  необходимо 10-фотонное поглощение оптической частоты — процесс, вероятность которого в поле с приведенной напряженностью ничтожна.

Еще один существеннейший момент — когерентность возникающего поля: излучение всех приведенных на рис. 1 частот сконцентрировано «вперед» по отношению к направлению распространения внешней волны.

Подобное сочетание вынуждает либо «раскладывать весьма громоздкий пасьянс» из уже известных нелинейных явлений (см. [2]), или же искать версию, основательно «минимизирующую» интерпретацию эффекта. Стартовый элемент ее вполне аналогичен теории АСКР [4]: оптическое поле индуцирует в молекуле электронный дипольный момент (далее  $\alpha$  — соответствующая поляризуемость), и он, продолжая взаимодействие с полем, добавит ротатору (обычная вращательная модель двухатомной молекулы) потенциальную энергию (см. также [5])  $V = -\alpha U^2 \sin\Theta \cos\varphi$ . Углы  $\Theta$ ,  $\varphi$  показаны на рис. 2. Для бигармонического поля ( $t$  — время)  $U = U_1 \exp(-i\omega_1 t) + U_2 \exp(-i\omega_2 t) + \text{к.с.}$ , где  $\omega_1$ ,  $\omega_2$  — частоты;  $U_1$ ,  $U_2$  — амплитуды составляющих; оба поля линейно и одинаково поляризованы.

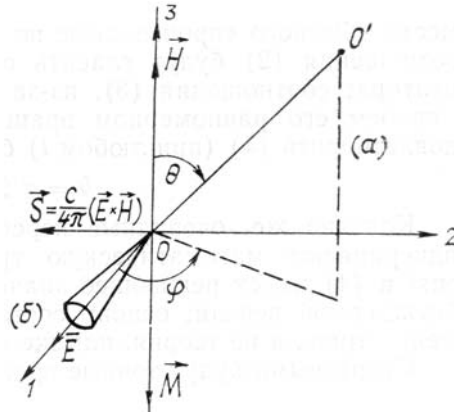


Рис. 2. Состояния жесткого ротатора до и после включения поля  $OO'$  — ось ротатора, (а) — произвольное его состояние (до включения поля), (б) — соответствует предельному циклу,  $\mathbf{M}$  — момент количества движения для (б). Лабораторная система (1, 2, 3) связана с внешним полем:  $\mathbf{E}$ ,  $\mathbf{H}$ ,  $\mathbf{S}$  — напряженности электрического, магнитного полей и вектор Пойнтинга

Становится понятным, что в  $U^2$  появится гармоника на частоте  $\omega_1 - \omega_2$  и она в уравнениях движения может быть скомпенсирована комбинациями  $\exp[i\pm\varphi(t)\pm\Theta(t)]$  которые явно присутствуют в выражении для  $V$ . Если окажется, что одна из величин  $\pm(\omega_1 - \omega_2)t \pm \varphi(t) \pm \Theta(t) \simeq 0$ , то энергия вращения моментально окажется  $\sim t$  со всеми вытекающими отсюда «кумулятивными» последствиями.

Разумеется, картина эта навеяна предпосылками самого появления эффекта (см. описание эксперимента). Понятно также, что «резонанс» должно определять условие  $\pm(\omega_1 - \omega_2) \pm d\varphi/dt \pm d\Theta/dt = 0$  при какой-то комбинации знаков. Наконец, нет никакой надобности квантовать движение ротатора — ведь вращательный спектр пока не обязателен.

## §2. Классический ротатор с потенциалом

Гамильтоновы уравнения движения

$$\dot{\theta} = \frac{P_\theta}{I}, \quad P_\theta = \frac{P_\varphi^2 \cos^2 \theta}{I \cdot \sin^3 \theta} + \alpha U^2 \cos \theta \cdot \cos \varphi; \quad (1)$$

$$\dot{\varphi} = \frac{P_\varphi}{I \cdot \sin^2 \theta}, \quad P_\varphi = -\alpha U^2 \sin \theta \cdot \sin \varphi$$

с моментом инерции  $I$  ( $P_\theta$ ,  $P_\varphi$  — импульсы, канонически сопряженные  $\theta$  и  $\varphi$ ) дополняются уравнениями для компонент угловой скорости в подвижной системе:

$$\omega_1 = \dot{\varphi} \cdot \sin \theta \cdot \sin \psi + \dot{\theta} \cos \psi; \quad \omega_2 = \dot{\varphi} \sin \theta \cos \psi - \dot{\theta} \cdot \sin \psi; \quad (2)$$

$$\omega_3 = \dot{\varphi} \cos \theta + \dot{\psi} = 0.$$

Как обычно,  $OO'$  (рис. 2) — третья ось подвижной системы,  $\psi$  — третий (кроме  $\theta$ ,  $\varphi$ ) угол Эйлера. (Математически  $\psi$  исключает последнее из (2)). До включения поля ротатору соответствует равномерное с частотой  $\omega$  вращение

$$\omega_1 = 0, \quad \omega_2 = \dot{\theta} = \omega, \quad \dot{\psi} = 0, \quad \varphi = \text{const}, \quad (3)$$

что и определяет начальные условия для (1).

Традиционной схеме [6, 7] качественного анализа (1) должно предшествовать замечание о введении стационарной точки условием

$$\dot{P}_\theta = \dot{P}_\varphi = 0, \quad \dot{\varphi} = \Omega^{(1)} = \text{const}, \quad \dot{\theta} = \Omega^{(2)} = \text{const}, \quad (4)$$

вместо обычного «производные по  $t$  — нули». В самом деле, при  $\dot{\theta} = \dot{\varphi} = 0$  соотношения (2) будут гласить о совершенно нефизичной остановке ротатора; соотношения (3), из-за смысла  $P_\theta$ ,  $P_\varphi$ , свидетельствуют о некоем его равномерном вращении. Единственной возможностью удовлетворить (4) (при любом  $t$ ) будет

$$\theta = \pi/2, \varphi = 0. \quad (5)$$

Конечно же, очевидные переопределения ( $\varphi \rightarrow \Omega^{-1} + \varphi(t)$  и т.д.) подчеркивают математическую тривиальность (4). Однако оценка const в (4) имеет решающее значение для физической состоятельности обсуждаемой версии; основу составляет здесь асимптотический трюк — именно трюк, а не теория, или же «подход».

Стартовыми будут точные выражения

$$\dot{\varphi} \cdot \sin^2 \theta = - \int_0^t dt' f(t') \cdot \sin \theta(t') \cdot \sin \varphi(t'); \quad (6)$$

$$\frac{1}{2} \dot{\varphi}^2 \cdot \sin^2 \theta + \frac{1}{2} \dot{\theta}^2 - \frac{1}{2} \omega^2 = \int_0^t dt' f(t') (\dot{\theta} \cos \theta \cos \varphi - \dot{\varphi} \cdot \sin \theta \cdot \sin \varphi) \quad (7)$$

с  $f(t) = (\alpha/I)U^2(t)$ ; (6) — интеграл уравнений движения [(1) надо предварительно написать в лагранжевой форме:  $\ddot{\theta} = \dot{\varphi}^2 \sin \theta \cos \theta + f \cos \theta \cos \varphi$ ,  $\ddot{\varphi} \sin^2 \theta = -2\dot{\varphi}\dot{\theta} \sin \theta \cos \theta - f \sin \theta \sin \varphi$ ], и (7) — закон сохранения энергии [интегрирование  $(1/I) dH/dt$ , где с учетом начальных условий (3) энергия  $H = V + (1/2)(\dot{\varphi}^2 \cdot \sin^2 \theta + \dot{\theta}^2) = V + (1/2)(\omega_1^2 + \omega_2^2)$ ].

Далее, подставив (5) в левые части (6) и (7), получим  $\dot{\varphi} = - \int_0^t dt' f(t') \sin \theta(t') \sin \varphi(t')$ ; после этого второе слагаемое (7) заменим на  $\dot{\varphi}^2$  и тогда, учитывая (3), можно апеллировать к теореме о среднем. Возникающее выражение трактуем как интегральное уравнение относительно  $\Theta$ , и ненулевое (см. (3)) начальное условие предоставляет возможность решать его итерациями; естественно, ограничимся лишь первым шагом (в интеграле  $\dot{\Theta} \rightarrow \omega$ ). В итоге появится

$$\dot{\theta}^2 = \omega^2 + \dot{\varphi}^2 + 2\omega \int_0^t dt' f(t') \cos \theta(t') \sin \varphi(t').$$

Последнее выражение наводит на подозрение, граничащее, впрочем, с уверенностью, что  $|\dot{\varphi}| - |\dot{\theta}| = |\Omega^{(1)}| - |\Omega^{(2)}| = 0(\omega)$ . Понятно также, что стационарной точке (5) соответствует формальное  $t \rightarrow \infty$ , и (4) означает « $\Theta \approx \Omega^{(2)}(t)$ ,  $\varphi \approx \Omega^{(1)}(t)$  при больших  $t$ ». Вернувшись к разъяснению резонанса (см. конец §1), увидим его условия

$$|(\omega_1 - \omega_2) - \omega| \ll \omega, \quad |\omega_1 - \omega_2|. \quad (8)$$

Правило асимптотических оценок интегралов вида Фурье [8] — возможность рассматривать подынтегральные (в формулах для  $\Theta$  и  $\varphi$ ) функции именно при больших  $t$  — и теорема Абеля [9] формализуют вычисление  $\lim$ . Появляется серия  $\delta$ -функций, из которых, естественно, останется лишь соответствующая резонансу типа (8).

Сложившаяся ситуация требует эвристического шага, и он состоит в замене  $\delta$ -функции шириной  $\gamma$  резонанса (8). Конечно, эта акция удачно исключает неопределенные  $\Omega^{(1)}$ ,  $\Omega^{(2)}$  из интегралов, но вводит проблему  $\gamma$ . Физическое содержание ее — устранение сингулярности в законе сохранения энергии (ему соответствует (7)): чтобы в условиях резонанса появлялась конечная энергия, необходим «шум», срабатывающий как «тормозящий фактор»; ситуация эта типична в синергетике [7]. Последним мы фактически определили условия существования стационарной точки.

Исполненный по таким «правилам игры» анализ дает

$$\Omega^{(1)} < 0, \quad \Omega^{(2)} < 0, \quad \Omega^{(1)} - \Omega^{(2)} > 0, \quad \Omega^{(1)} = - \frac{\alpha b}{I \gamma} \cos \beta, \quad \Omega^{(2)} = \Omega^{(1)} - \omega, \quad (9)$$

где комплексное число  $U_1^* U_2 = b \exp(i\beta)$ .

Теперь можно вернуться к выяснению характера стационарной точки (5). Некую нетипичность привносит зависимость  $f$  от  $t$ , и поэтому лучше обращаться с лагранжевой формой. Для окрестности (5) ( $x = \theta - \pi/2$ ) она дает:  $\ddot{x} = -(\Omega^{(1)2} + f)x$ ,  $\ddot{\varphi} = 2\Omega^{(1)} \cdot \Omega^{(2)} \cdot x - f_\varphi$ . После перехода к интегральным

уравнениям увидим асимптотическую малость интегральных слагаемых, и останутся только „колебательные” выражения, свидетельствующие, что (5) — точка типа „центр”.

Более того, здесь существует предельный цикл с «навинчивающимися» на него траекториями независимо от их начальных условий — доказательство этого факта совпадает с примером из [6]. Геометрически предельный цикл есть на рис. 2, б — вращение с частотами  $\Omega^{(1)} \Omega^{(2)}$  из (9) по конусу, угол при вершине которого есть  $O(I\gamma^2/\alpha\beta)$ . И любой ротатор, независимо от его начального (до включения поля) состояния (рис. 2, а), окажется в положении, изображенном на рис. 2, б.

Аналогичный прием для уравнений в форме Эйлера [  $\dot{\omega}_1 = (\cos\theta \cdot \cos\varphi \cdot \cos\psi - \sin\varphi \cdot \sin\psi)f$ ,  $\dot{\omega}_2 = (\cos\theta \cdot \sin\varphi \cdot \sin\psi + \sin\varphi \cdot \cos\psi)f$  ] позволяет найти направление  $\mathbf{M}$  (см. рис. 2) в предельном цикле. И если полагать, что после выключения поля молекула освобождается от аномально большого  $\mathbf{M}$  спонтанным излучением, то оно, из-за сохранения момента количества движения, будет направлено только по  $\mathbf{S}$  ( $\mathbf{E}$  сконцентрировано вдоль оси ротатора, а конечный момент молекулы значительно меньше  $\mathbf{M}$ ) тем самым разъясняется та когерентность, о которой шла речь в §1.

В состоявшемся анализе существенны его синергетические аспекты: нелинейность задачи (1) (именно здесь радикальное отличие от аналогичной проблемы АСКР) ведет к изменению (в сравнении с линейным вариантом) роли внешнего воздействия — оно начинает выступать как «спусковой крючок», мобилизующий внутренние ресурсы нелинейной системы (в линейном случае подобное воздействие — главный динамический фактор); по иному выглядит проблема резонанса — см. конец §1 и обсуждение (6), (7) (он явно отличается, например, от резонанса осциллятора с внешней периодической силой); и наконец, принципиальным оказывается существование «шума» — центральный момент для самоорганизации устойчивого состояния на рис. 2, б. Собственно, факторы эти и обуславливают весьма низкий порог эффекта: уже при  $\gamma$ , отвечающих эффекту Доплера (см. §3), и полях  $\sim 10^4 - 10^5$  В/см в (9)  $\Omega = 10^7$  см<sup>-1</sup> (для N<sub>2</sub> и O<sub>2</sub>), и соответствующая вращательная энергия значительно превосходит не только электронные уровни, но и уровни диссоциации и ионизации азота и кислорода.

### §3. Резонанс (8), его ширина, заселение состояний

В этом параграфе на сугубо качественном уровне будут обсуждены другие стороны физической картины эффекта — главный элемент интерпретации составил содержание §2.

Изначальное появление резонанса (8) легко трактовать как происходящее в процессе межмолекулярного столкновения — ведь оно достаточно для перехода между вращательными состояниями, а классичность центров масс непрерывно «заполняет» промежуток между квантовыми уровнями; при необходимости несложно оценить вероятность точного исполнения (8). Поскольку речь идет об отдельном соударении, то, ориентируясь на теорию контура спектральных линий (напр., [10]), можно, как вполне приемлемую гипотезу, принять в качестве  $\gamma$  доплеровскую полуширину (естественная ничтожна для вращательной частоты).

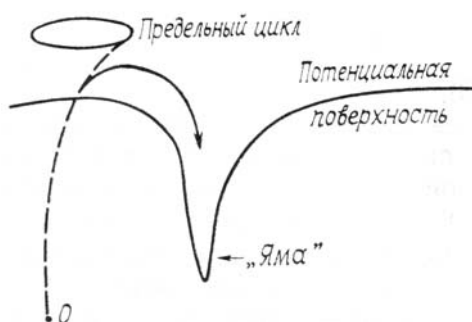


Рис. 3. Движение ротатора к предельному циклу в фазовом пространстве: «яма» — соответствует стационарному электронно-вращательному состоянию; — — — условное изображение «навинчивающейся» на предельный цикл траектории ротатора (см. §2); → — движение из-за электронно-вращательного взаимодействия. Энергия предельного цикла оценена в конце §2

Следующий пункт — с ним связана схема на рис. 3 — призван разъяснить картину широкополосного возбуждения (см. §1). При весьма энергичном вращении в игру включится совершенно незначительное в обычных условиях электронно-вращательное взаимодействие; из соответствующих членов точного гамильтониана [11] для (5) можно оставить  $\hat{\Gamma} = (i\hbar \hat{L}_2 / I) d / d\Theta$  с  $\hat{L}_2$  — оператором момента количества движения электронов (в молекулярной системе). Это  $\hat{\Gamma}$  выступает как причина безызлучательного перехода, заставляющего ротатор «свернуть» в «яму» с пути к предельному циклу (см. рис. 3). Ясно, что окажутся заселенными все состояния, энергия которых ниже энергии предельного цикла.

Нет проблем при постановке вопроса о вероятности подобных процессов и вероятности последующего спонтанного излучения. Но обсуждение вряд ли окажется конструктивным, ибо поведение молекулы при гигантских вращательных числах не принадлежит к числу решенных вопросов молекулярной спектроскопии.

Стоит отметить лишь одну деталь. Конечно, схема рис. 3 — отнюдь не единственная мыслимая возможность возбуждения и «высвечивания». Но лишь для нее полная вероятность пропорциональна интенсивности внешнего поля. Расчет этот основывается на допущении, что волновая вращательная функция есть  $P_v^{-v}(\cos\Theta) \cdot \exp(-iv\varphi)$ , где  $P_v^{-v}(\cos\Theta)$  — функция Лежандра и  $v$  соответствует энергии вращения с частотами из (9). Эта функция воспроизводит (б) на рис. 2 (что позволяет ссылаться на метод полуклассического представления [12] во время перехода от классического описания §2 к теплешному квантовому) и удовлетворяет уравнению Шредингера с гамильтонианом жесткого ротатора.

1. Еньшин А. В. // ДАН СССР. 1986. Т. 289. № 6. С. 1360—1362.
2. Еньшин А. В. // Оптика атмосферы. 1988. Т. 1. № 5. С. 48—54.
3. Еньшин А. В., Творогов С. Д. // XIII Международная конф. по когерентной и нелинейной оптике. (Тезисы докл.). Минск, 1988. Ч. IV. С. 108—109.
4. Ахманов С. А., Коротеев Н. И. Методы нелинейной оптики в спектроскопии рассеяния света. Активная спектроскопия рассеяния света. М.: Наука, 1981. 544 с.
5. Мессиа А. Квантовая механика. М.: Наука, 1979. 503 с.
6. Арнольд В. И. Обыкновенные дифференциальные уравнения. М.: Наука, 1984. 272 с.
7. Хакен Г. Синергетика. М.: Мир, 1985. 419 с.
8. Эрдейн А. Асимптотические разложения. М.: Физматгиз, 1962. 127 с.
9. Лаврентьев М. А., Шабат Б. В. Методы теории функции комплексного переменного. М.: Физматгиз, 1958. 678 с.
10. Несмелова Л. И., Родимова О. Б., Творогов С. Д. Контур спектральной линии и межмолекулярное взаимодействие. Новосибирск: Наука, 1986. 215 с.
11. Макушкин Ю. С., Тютюрев В. Г. Методы возмущений и эффективные гамильтонианы. Новосибирск: Наука, 1984. 240 с.
12. Гордов Е. П., Творогов С. Д. Метод полуклассического представления квантовой теории. Новосибирск: Наука, 1984. 167 с.

НИИ прикладной механики и математики  
при Томском госуниверситете  
Институт оптики атмосферы  
СО АН СССР, Томск

Поступила в редакцию  
23 января 1989 г.

#### A. V. En'shin, S. D. Tvorogov. Rigid Rotator in Biharmonic Resonance Field.

The paper presents the results of experiments on irradiation of air molecules with biharmonic radiation of Nd—YAG-laser second harmonic (two longitudinal modes). It was recorded about 750 lines in the emission spectrum of thus excited molecules within the region from 0,198 to 0,394  $\mu\text{m}$ . These lines are due to transitions between excited electron states of  $\text{N}_2$  molecules as well as of the molecular ions  $\text{N}_2^+$  and  $\text{O}_2^+$ , and of the ionized atoms  $\text{N}^+$  and  $\text{O}^+$ . It is shown in this paper that the effect, can only be observed in the media containing molecules with the rotational energy levels irradiated with a biharmonic field, the difference of energies between the waves of which is in resonance with the energy of a rotational state of a molecule.

Interpretation of the experimental results is based on the qualitative analysis of differential equations of motion. Finally, the analysis made allowed us to state that there exist a stationary point of the «centre» type and an asymptotic cycle with the «screw-on» on its trajectories (regardless of their initial conditions). As a consequence, a rigid rotator placed in a biharmonic resonant (at the difference frequency) field can be considered as a synergetic system.